

図 4 (a) Mesangial hypercellularity を分類する CNN の着目点の可視化例。TP は新陽性、FP は偽陽性、TN は真陰性、FN は偽陰性を意味する。

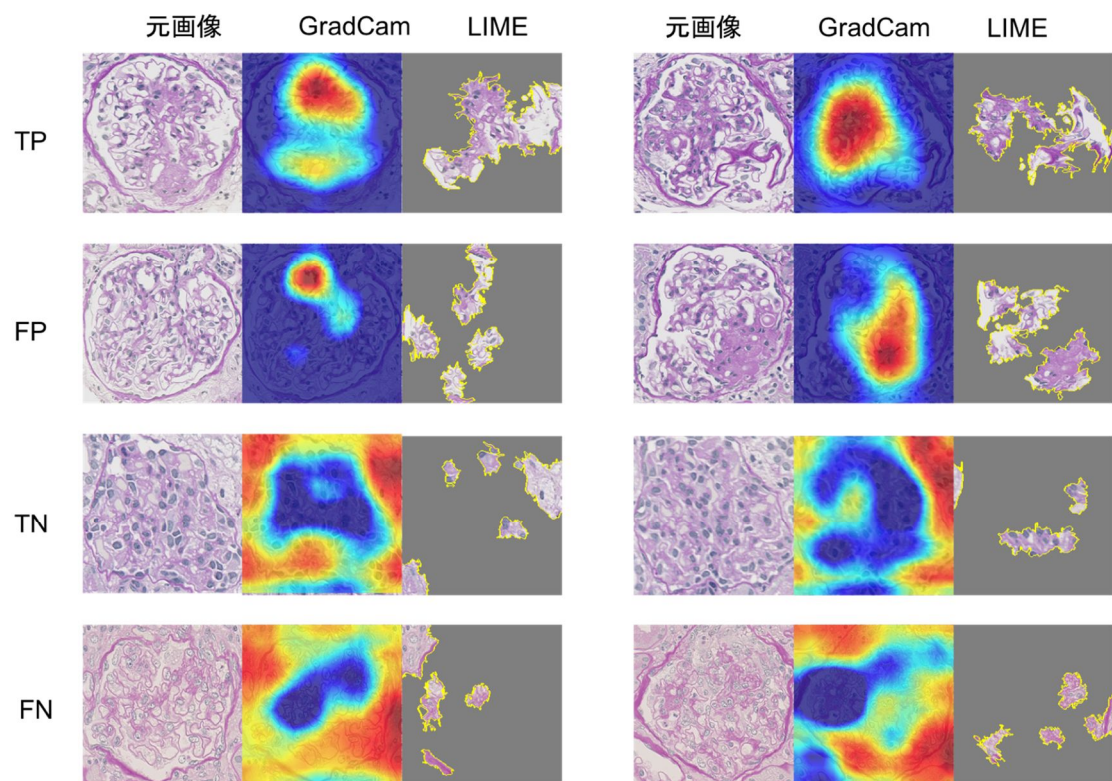


図 4 (b) Increased mesangial matrix を分類する CNN の着目点の可視化例。TP は新陽性、FP は偽陽性、TN は真陰性、FN は偽陰性を意味する。

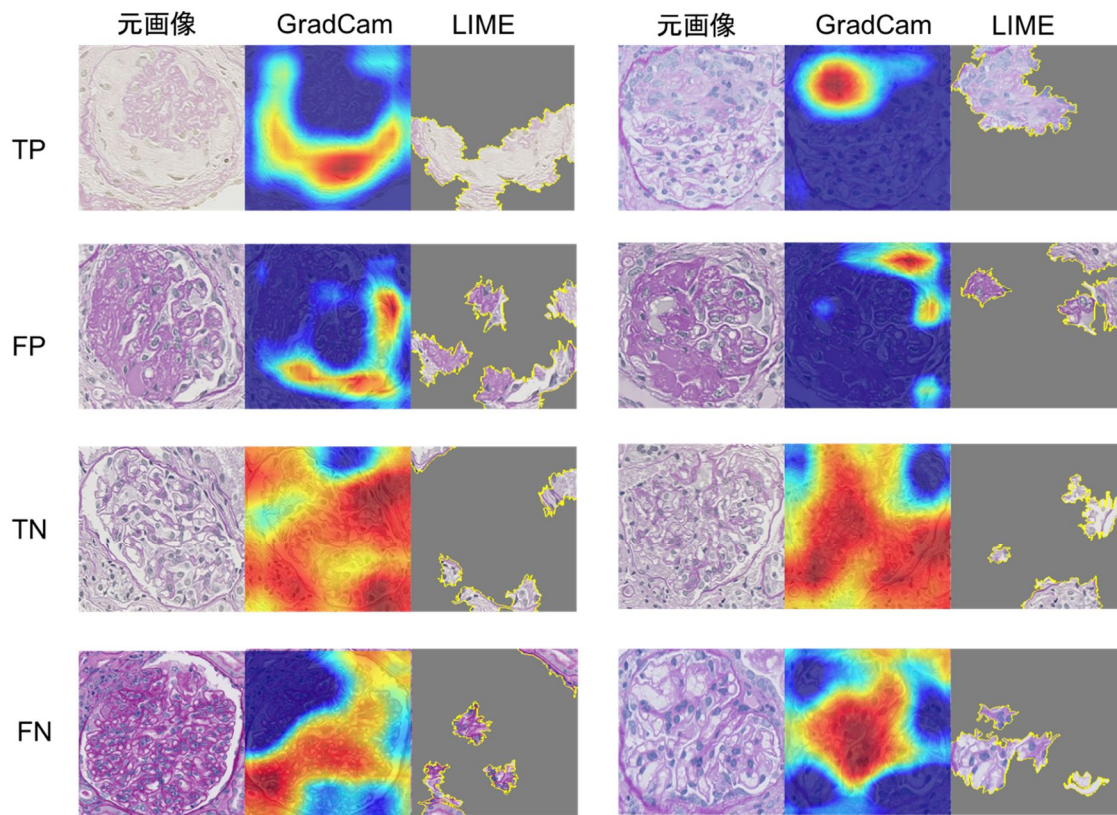


図 4 (c) Crescent を分類する CNN の着目点の可視化例。TP は新陽性、FP は偽陽性、TN は真陰性、FN は偽陰性を意味する。

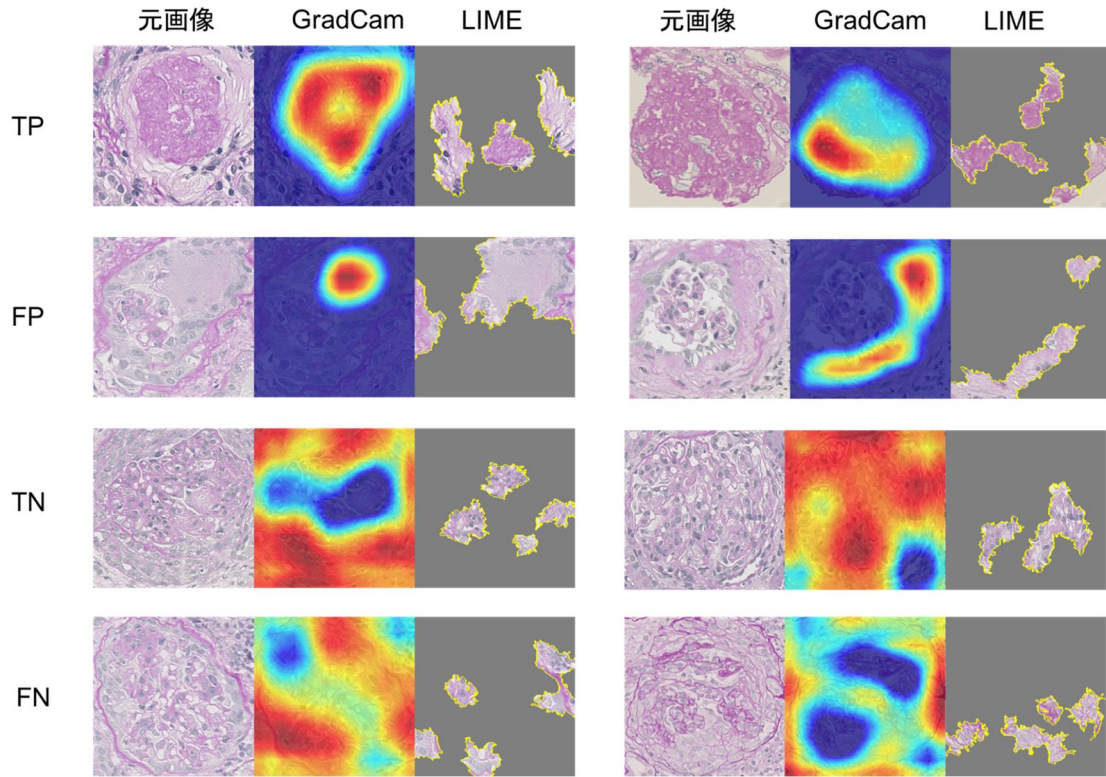


図 4 (d) Extracellular Matrix Sclerosis / Collapsing Obsolete を分類する CNN の着目点の可視化例。TP は新陽性、FP は偽陽性、TN は真陰性、FN は偽陰性を意味する。

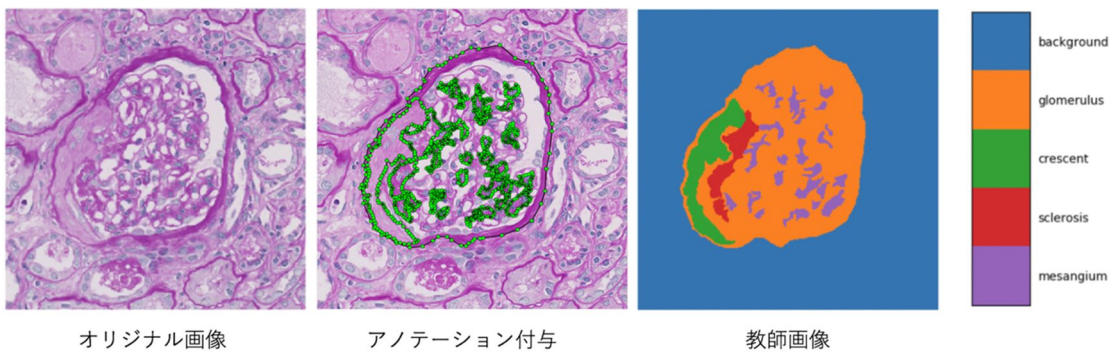


図 5. 糸球体の内部構造領域アノテーションの例

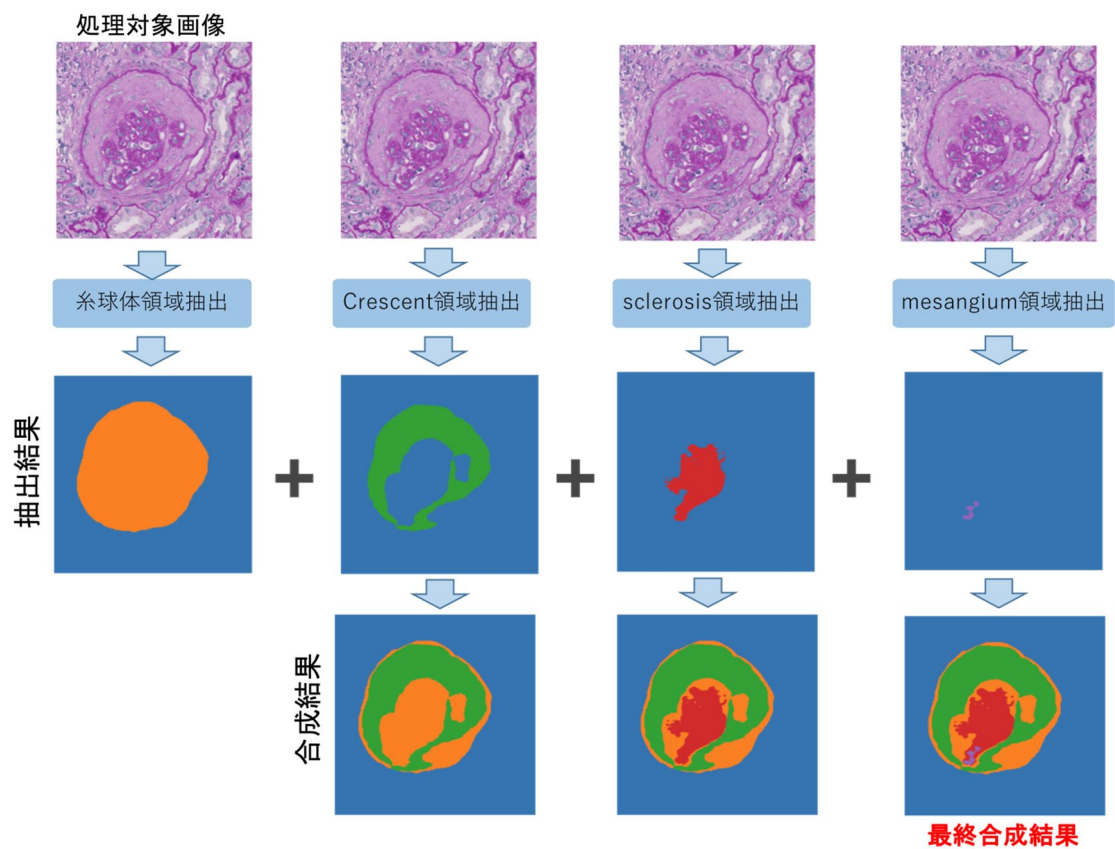


図 6. 糸球体内部構造領域を抽出する方法の概要。アノテーション付き画像枚数が十分ではなく、一度に多クラスの領域を抽出する方法ではネットワークの学習が困難であったため、各領域と背景を抽出するネットワークの結果を合成して、多クラスの領域抽出を行った。